

## УСЛОВИЯ В УЗЛЕ ОДНОМЕРНЫХ ТЕЧЕНИЙ ГАЗА

Ю. А. Дубравин

Пермский государственный университет,  
614600 Пермь

Законы сохранения гидродинамики в интегральной форме в общем случае внутренних течений при квазиодномерной трактовке течений в каналах приводят к незамкнутой системе уравнений. Решение их применительно к задачам раздачи (или втекания) потока из канала через боковые патрубки требует привлечения дополнительных гипотез: в [1] постулируется кинематическая связь для потоков в основном канале и боковых патрубках; в [2] для входного участка бокового патрубка используются соотношения гидростатики; в [3] при решении задач распада произвольного разрыва на различного вида местных сопротивлениях векторное уравнение движения заменяется скалярным соотношением, содержащим коэффициент гидравлических потерь, и в боковом ответвлении коэффициент поджатия потока принят равным единице; в [4] истечение сверхзвукового потока из канала через патрубок отождествляется с истечением потока из полубесконечного пространства через щель в тонкой пластине.

В данной работе для решения названной задачи используется обобщение гипотезы, предложенной в [5], о независимости термодинамической функции (коэффициента восстановления  $\sigma_p$ ) явно от геометрических характеристик канала и патрубков.

1. Рассматривается участок канала в общем случае переменного поперечного сечения, в пределах которого в боковую стенку канала врезаны произвольное число  $m$  различным образом ориентированных патрубков. Сечения  $S^-$  и  $S^+$  ограничивают зону перестройки течения в канале (рис. 1), в патрубках сечения  $S_{mk}$  выбираются там, где становится приемлемым допущение об одномерности потока (при истечении — в минимальном сечении струи). Законы сохранения гидродинамики для объема канала и патрубков между названными сечениями при допущениях, использованных в [5], приводят к уравнениям

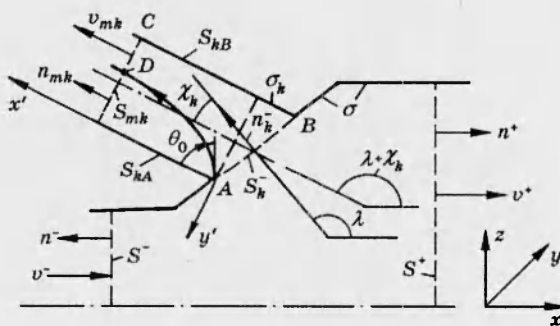


Рис. 1

$$\begin{aligned}
 (S\rho v)^+ &= (S\rho v)^- - \sum_{k=1}^m (\varepsilon S\rho v_n)_{mk}, \\
 (\alpha S\rho vv + Snp)^+ &- (\alpha S\rho vv - Snp)^- + p_\sigma \int_{\sigma + \sum S_k} \mathbf{n} dS - \int_{\sigma_T + S^- + S^+} \boldsymbol{\tau}_n^* dS + \\
 &+ \sum_{k=1}^m \left\{ (\alpha S\rho v_n^2)_{mk} \int_{(\varepsilon S)_{mk}} \mathbf{n} dS + p_{mk} \int_{(\varepsilon S)_{mk}} \mathbf{n} dS + p_{\delta k} \int_{(1-\varepsilon)S_{mk}} \mathbf{n} dS + \right. \\
 &+ p_{\delta k} \left[ \int_{S_{kA}} \mathbf{n} dS + \nu_k \int_{\sigma_k} \mathbf{n} dS \right] + p_{\sigma k} \left[ \int_{S_{kB}} \mathbf{n} dS + (1 - \nu_k) \int_{\sigma_k} \mathbf{n} dS \right] - \quad (1.1) \\
 &\left. - p_\sigma \int_{S_k^-} \mathbf{n} dS - \int_{\sigma_{Tk} + S_{mk}} \boldsymbol{\tau}_n^* dS \right\} = 0, \\
 (S\rho vH)^+ &- (S\rho vH)^- + \int_{\sigma_T + S^- + S^+} (q_n^* - \boldsymbol{\tau}_n^* \cdot \mathbf{v}) dS + \\
 &+ \sum_{k=1}^m \left\{ (\varepsilon S\rho v_n H)_{mk} + \int_{(\varepsilon S)_{mk} + \sigma_{Tk}} (q_n^* - \boldsymbol{\tau}_n^* \cdot \mathbf{v}) dS \right\} = 0, \quad p = \rho RT.
 \end{aligned}$$

Здесь  $p$ ,  $\rho$ ,  $v$ ,  $T$  — давление, плотность, скорость, температура;  $H = \beta v^2/2 + \gamma p/(\gamma - 1)\rho$ ;  $\alpha$ ,  $\beta$  — коэффициенты неоднородности поля скоростей;  $\varepsilon$  — степень поджатия потока в боковых патрубках;  $\mathbf{n}$  — вектор нормали;  $\boldsymbol{\tau}_n^*$ ,  $\mathbf{q}^*$  — векторы напряжений и теплового потока (включая эффекты вязкости и турбулентности);  $\sigma_T$  и  $\sigma_{Tk}$  — поверхности трубок тока транзитного потока и втекающего (вытекающего) в боковой патрубок. При записи уравнения движения допускается различие средних давлений в зоне отрыва потока  $p_{\delta k}$  и в минимальном сечении струи  $p_{mk}$ , что подтверждается фактом значительных градиентов давления в зонах отрыва при истечении сверхзвуковых потоков [6];  $p_\sigma$  и  $p_{\sigma k}$  — средние давления на боковой поверхности канала и  $k$ -го патрубка (в пределах контакта струи с поверхностью патрубка) соответственно. Области действия давлений  $p_{\delta k}$  и  $p_{\sigma k}$  на поверхности патрубка в общем случае зависят от ориентации патрубка (угол  $\chi_k$ , см. рис. 1) и его формы. Принимая для простоты сечение  $S_{mk}$  прямоугольным, зоны действия этих давлений можно описывать с помощью коэффициента  $\nu_k = (1 - \text{sign } \chi_k)/2$ , где знак  $\chi_k$  положителен при отклонении оси патрубка от нормали к поверхности  $\sigma$  против часовой стрелки. В этом случае длины участков поверхностей  $S_{kA}$  и  $S_{kB}$  одинаковы и могут быть определены в виде

$$b_k = (x'_D/a_m - \nu_1 \operatorname{tg} \chi)_k, \quad (1.2)$$

где  $\nu_1 = \nu_k \operatorname{sign} \chi_k$ ;  $a_{mk}$  — ширина патрубка;  $x'_D$  — координата точки  $D_k$  границы струи в минимальном сечении (см. ниже);  $b_k = 0$ , если правая часть (1.2) неположительна.

Последующие преобразования уравнений (1.1) отличаются от [5] лишь большей громоздкостью и могут быть опущены. Существенным является лишь то обстоятельство, что в качестве «лишних»  $m + 1$  неизвестных здесь появляются давления  $p_\sigma$  и  $p_{\sigma k}$  или их весовые коэффициенты  $\varphi_p$  и  $\varphi_{pk}$ :  $p_\sigma = \varphi_p p^+ + (1 - \varphi_p)p^-$ ,  $p_{\sigma k} = \varphi_{pk} p_{mk} + (1 - \varphi_{pk})p_\sigma$ . Тогда исходные уравнения можно записать как

$$(S\rho v)^+ = (1 + \Delta_G)(S\rho v)^-, \quad (1 + \Delta_G)H^+ = H^- + \Delta_H(a^-)^2, \quad (1.3)$$

$$(\alpha S\rho v^2)^+ + p^+ \sigma^+ = (\alpha S\rho v^2)^- + p^- \sigma^- - (S\rho v^2)\Delta_\tau^* - \sum_{k=1}^m (p^- - p_{\delta k})S_{mk}k_{3k};$$

$$\begin{aligned} \varepsilon_{mk}(p_{mk} - p_{\delta k}) + (\varepsilon \rho v_n^2)_{mk}(\alpha_{mk} + \Delta_{\tau k}/n_{mk})k_{1k} = \\ = k_{2k}(p_\sigma - p_{\delta k}), \quad k = 1, m. \end{aligned} \quad (1.4)$$

Уравнения (1.4) являются следствием уравнения движения в проекции на оси  $y, z$ ; с их помощью в (1.3) исключены давления  $p_{mk}$ . В дальнейшем при неизвестных  $\Delta_{Gk}$  уравнения (1.4) используются для их определения. В (1.4)  $k_{ik}$  содержат неизвестные  $\varphi_{pk}$ , описывают форму и ориентацию патрубков и для плоских течений в патрубках приводятся к соотношениям

$$\begin{aligned} k_{1k} &= (1 + \varphi_{pk}\psi_{5k}/\varepsilon_{mk})^{-1}, & k_{2k} &= k_{1k}(\psi_{7k} - \psi_{5k} + \varphi_{pk}\psi_{5k}), \\ k_{3k} &= k_{1k}(\psi_{1k} + \varphi_{pk}\psi_{2k}), & k_{4k} &= k_{1k}(\psi_{3k} + \varphi_{pk}\psi_{4k}/\varepsilon_{mk}), \\ \psi_{1k} &= (-\operatorname{tg} \chi_k + q_k)/\sin(\lambda + \chi_k), & \psi_{2k} &= (1 - \varepsilon_{mk})q_k/\varepsilon_{mk} \sin(\lambda + \chi_k), \\ \psi_{3k} &= \Delta_{\tau k} \operatorname{ctg}(\lambda + \chi_k)/\alpha_{mk}, & \psi_{4k} &= [\alpha_k + \Delta_{\tau k} \sin(\lambda + \chi_k)]q_k/\alpha_{mk} \sin(\lambda + \chi_k), \\ \psi_{5k} &= -\operatorname{ctg}(\lambda + \chi_k) \cdot q_k, & \psi_{6k} &= q_k \sin(\lambda + \chi_k), & \psi_{7k} &= \sin \lambda / \cos \chi_k \sin(\lambda + \chi_k), \\ q_k &= b_k + (1 - \nu_k)\operatorname{tg} \chi_k, & n_{mk} &= \sin(\lambda + \chi_k). \end{aligned} \quad (1.5)$$

Остальные величины в (1.3), (1.4) в основном подобны аналогичным величинам в [5]:

$$\begin{aligned} \sigma^- &= \sigma^+, \quad \sigma^+ = S^+[1 - \varphi_p(\Delta_S - k_5)], \quad k_5 = (1 - \Delta_S) \sum_{k=1}^m \bar{S}_{mk}k_{3k}, \\ \bar{S}_{mk} &= S_{mk}/S^-, \quad \Delta_S = 1 - S^-/S^+, \quad \Delta_\tau^* = \Delta_\tau + \sum_{k=1}^m (\alpha_m \Delta_G v_{nm})_k k_{4k}/v^-, \\ \Delta_{Gk} &= -G_k/G^-, \quad G_k = (\varepsilon S \rho v_n)_{mk}, \quad G^- = (S \rho v)^-, \quad \Delta_G = \sum_{k=1}^m \Delta_{Gk}, \\ \Delta_Q &= -\frac{\int_{\sigma_T + S^- + S^+} (q_n^* - \tau_n^* \cdot \mathbf{v}) dS}{(G a^2)^-}, \quad \Delta_{Qk} = \frac{\int_{\sigma_{Tk} + (\varepsilon S)_mk} (q_n^* - \tau_n^* \cdot \mathbf{v}) dS}{G_k(a^-)^2}, \\ a^2 &= \gamma p/\rho, \quad \Delta_H = \Delta_Q + \sum_{k=1}^m \Delta_{Gk}(A_{Hk}(H/a^2)^- - \theta_k \Delta_{Qk}), \end{aligned}$$

$A_{Hk} = 1$ ,  $\theta_{Hk} = 0$  при истечении из канала,  $A_{Hk} = H_k/H^-$ ,  $\theta_{Hk} = 1$  при втекании,

$$\Delta_\tau = -\frac{\int_{\sigma_T + S^- + S^+} \tau_{nx}^* dS + \sum_{k=1}^m \int_{\sigma_{Tk} + S_{mk}} \tau_{nx}^* dS}{G^- v^-},$$

$\Delta_{\tau k}$  в отличие от  $\Delta_\tau$  связаны с поперечными составляющими вектора напряжений для трубок тока боковых патрубков.

Уравнения (1.3) описывают реакцию газа в канале на локальные конечные по величине воздействия: геометрические  $\Delta_S$ ,  $\chi_k$ , расходные  $\Delta_{Gk}$ ,

тепловые  $\Delta_Q$ ,  $\Delta_{Qk}$  и сил трения  $\Delta_\tau$ ,  $\Delta_{\tau k}$ . При заданных воздействиях в задачах истечения эти уравнения незамкнуты за счет  $m+1$  неизвестных давлений  $p_\sigma$ ,  $p_{\sigma k}$  (или  $\varphi_p$ ,  $\varphi_{pk}$ ). В задачах подвода массы, где  $p_{mk} = p_{bk} = p_{\sigma k} = p_\sigma$  [5], в уравнении движения (1.1) обращается в нуль группа интегралов в фигурной скобке, кроме первого и последнего, в силу известного свойства  $\int_{S_k} \mathbf{n} dS = 0$  ( $S_k$  — замкнутая поверхность объема в  $k$ -м боковом патрубке). При этом в уравнениях (1.3) за счет патрубков с подводом массы число неизвестных  $\varphi_{pk}$  сокращается (в предельном случае до одного  $p_\sigma$ ). Этому случаю в (1.3)–(1.5) соответствуют

$$k_{3k} = k_5 = 0, \quad \Delta_{\tau k} = -(\alpha n_r)_{mk}, \quad k_{4k} = -\cos(\lambda + \chi_k), \quad (1.6)$$

что приводит к совпадению с результатами в [5] при подводе массы в канал, в связи с чем основное внимание будет уделено задачам истечения.

**2.** В предположении, что параметры состояния газа в сечении  $S^-$  являются известными, а в  $S^+$  — искомыми, решение уравнений гидродинамики (1.3), выполненное по схеме, изложенной в [5], приводит к выражениям

$$\begin{aligned} \frac{v^+}{v^-} &= \frac{K \pm \nu N}{(1 + \Delta_G)(n + 1)M^{-2}}, & \frac{\rho^+}{\rho^-} &= \frac{(1 - \Delta_S)(1 + \Delta_G)^2(n + 1)M^{-2}}{K \pm \nu N}, \\ \frac{p^+}{p^-} &= \frac{K \mp \nu n N}{I(n + 1)}, & \frac{T^+}{T^-} &= \frac{(K \mp \nu n N)(K \pm \nu N)}{I(1 - \Delta_S)(1 + \Delta_G)^2(n + 1)^2 M^{-2}}, \\ M^{+2} &= (1 - \Delta_S)I \frac{K \pm \nu N}{K \mp \nu n N}, & \frac{p_\sigma}{p^-} &= 1 + \varphi_p \left( \frac{p^+}{p^-} - 1 \right), & \frac{p_{\sigma k}}{p_\sigma} &= 1 + \varphi_{pk} \left( \frac{p_{mk}}{p_\sigma} - 1 \right); \end{aligned} \quad (2.1)$$

$$\begin{aligned} M &= v/a, & M^{-2} &= (M^-)^2, & n &= (1 - (\gamma - 1)\sigma^+/\gamma S^-)^{-1}, \\ I &= n\sigma^+/\gamma S^-, & \nu &= \text{sign}(M^- - 1), & K &= I + nM^{-2}(\alpha^- - \tilde{\Delta}_\tau^*), \\ N &= \left\{ \frac{K^2 - 2(n^2 - 1)M^{-2}(c_1 + c_2(\gamma - 1)M^{-2}/2)}{\gamma - 1} \right\}^{1/2}, \end{aligned} \quad (2.2)$$

$$\begin{aligned} c_1 &= (1 + \Delta_G) \left( 1 + \sum_{k=1}^m A_{Hk} \Delta_{Gk} + (\gamma - 1) \left( \Delta_Q - \sum_{k=1}^m \theta_{Hk} \Delta_{Gk} \Delta_{Qk} \right) \right), \\ c_2 &= (1 + \Delta_G) \left( \beta^- + \sum_{k=1}^m A_{Hk} \Delta_{Gk} \right), \quad \tilde{\Delta}_\tau^* = \Delta_\tau^* + \frac{\sum_{k=1}^m (1 - p_{\delta k}/p^-) S_{mk} k_{3k}}{\gamma M^{-2}}. \end{aligned}$$

В соотношениях (2.1), помимо упомянутых выше воздействий, при выборе нижнего знака предусмотрена возможность появления прямого скачка уплотнения. Вводя для части воздействий обозначение

$$X = \{x_i\} = \{M^-, \Delta_{Gk}, \Delta_Q, \Delta_{Qk}, \Delta_\tau, \Delta_{\tau k}\}, \quad (2.3)$$

общую структуру решения для произвольного гидродинамического параметра  $\psi$  можно представить в виде

$$\psi^+/\psi^- = f(X, \Delta_S, \chi_k, \varphi_p(X, \Delta_S, \chi_k), \varphi_{pk}(X, \Delta_S, \chi_k)).$$

Соотношения (2.1) рассматриваются как промежуточный этап решения, так как содержат неизвестные  $\varphi_p$  и  $\varphi_{pk}$ , предполагаемые функциями всех

возможных воздействий.

3. Определение  $\varphi_p$  и  $\varphi_{pk}$ , как и в [5], основано на возможности описания термодинамической функции  $\sigma_p = p_0^+ / p_0^-$  ( $p_0$  — давление торможения) двумя способами. Первый (с использованием двух начал термодинамики, записанных для среды в рассматриваемом объеме) приводит к тем же соотношениям, что и в [5], и позволяет утверждать, что функция  $\sigma_p^{(1)}$  не зависит явно от геометрических характеристик канала (здесь — скачка площади сечения канала, ориентации боковых патрубков) и является функцией воздействий  $X$

$$\sigma_p^{(1)} = f_1(X), \quad (3.1)$$

где вид функции  $f_1$  в рамках рассматриваемого подхода не определен, и (3.1) носит качественный характер.

С другой стороны, три закона сохранения гидродинамики в форме (2.1) дают

$$\sigma_p^{(2)} = \frac{\pi(M^-)}{I(n+1)} (K \mp \nu n N) \left(1 + \frac{n-1}{2} \frac{K \pm \nu N}{K \mp \nu n N}\right)^{\gamma/(\gamma-1)} \quad (3.2)$$

( $\pi(M) = (\tau(M))^{\gamma/(\gamma-1)}$ ,  $\tau(M) = (1 + (\gamma - 1)M^2/2)^{-1}$ ), откуда

$$\sigma_p^{(2)} = f_2(X, \Delta_S, \chi_k, \varphi_p(X, \Delta_S, \chi_k), \varphi_{pk}(X, \Delta_S, \chi_k)). \quad (3.3)$$

Зависимость функции  $f_2$  от аргументов  $X$ ,  $\Delta_S$ ,  $\chi_k$  и величин  $\varphi_p$  и  $\varphi_{pk}$  определена соотношением (3.2). Очевидно также, что  $\sigma_p^{(1)}$  и  $\sigma_p^{(2)}$  определяют одну и ту же величину, поэтому

$$\sigma_p^{(1)} = \sigma_p^{(2)} \quad \text{или} \quad d\sigma_p^{(1)} - d\sigma_p^{(2)} = 0. \quad (3.4)$$

Теперь проблема сводится к такому подбору функций  $\varphi_p(X, \Delta_S, \chi_k)$  и  $\varphi_{pk}(X, \Delta_S, \chi_k)$ , при котором обеспечивается независимость  $\sigma_p^{(2)}$  от  $\Delta_S$  и  $\chi_k$ . Один из возможных приемов определения  $\varphi_p$  и  $\varphi_{pk}$ , ранее использованный в [5], состоит в следующем. Разности частных дифференциалов этих функций и независимость воздействий  $X$ ,  $\Delta_S$ ,  $\chi_k$ , обоснованная в [5], приводят к системе дифференциальных уравнений в частных производных, обеспечивающих независимость функции  $\sigma_p^{(2)}$  в (3.2) от геометрических воздействий  $\Delta_S$ ,  $\chi_k$ :

$$\begin{aligned} \frac{\partial f_2}{\partial \varphi_p} \frac{\partial \varphi_p}{\partial \Delta_S} + \sum_{k=1}^m \frac{\partial f_2}{\partial \varphi_{pk}} \frac{\partial \varphi_{pk}}{\partial \Delta_S} &= -\frac{\partial f_2}{\partial \Delta_S}, \\ \frac{\partial f_2}{\partial \varphi_p} \frac{\partial \varphi_p}{\partial \chi_j} + \sum_{k=1}^m \frac{\partial f_2}{\partial \varphi_{pk}} \frac{\partial \varphi_{pk}}{\partial \chi_j} &= -\frac{\partial f_2}{\partial \chi_j}, \quad j = 1, m. \end{aligned} \quad (3.5)$$

Таким образом, соотношения (3.5), или исходное условие (3.4), являются аналитическим выражением гипотезы о независимости термодинамической функции  $\sigma_p$  явно от геометрических воздействий как от независимых переменных и обобщают ранее полученные результаты [5] на большее число воздействий. Решения (3.5) относительно  $\varphi_p$  и  $\varphi_{pk}$  совместно с (2.1) описывают реакцию потока в канале на локальные конечные по величине воздействия  $X$ ,  $\Delta_S$ ,  $\chi_k$ , образуя при этом замкнутую систему уравнений.

Исследование типа системы дифференциальных уравнений (3.5) по схеме [7] выявило гиперболичность этих уравнений во всем возможном

диапазоне скоростей потока и, следовательно, необходимость задания начальных условий для их решения. При этом любые направления в пространстве переменных  $\Delta_S, \chi_k$  являются характеристическими. В частности, для  $m$  одинаковых патрубков ( $\chi_k = \chi$ ) выполняются соотношения

$$\begin{aligned}\Delta_S = \text{const}: \quad m \frac{\partial f_2}{\partial \varphi_{pk}} d\varphi_{pk} + \frac{\partial f_2}{\partial \varphi_p} d\varphi_p &= -m \frac{\partial f_2}{\partial \chi} d\chi, \\ \chi = \text{const}: \quad m \frac{\partial f_2}{\partial \varphi_{pk}} d\varphi_{pk} + \frac{\partial f_2}{\partial \varphi_p} d\varphi_p &= -\frac{\partial f_2}{\partial \Delta_S} d\Delta_S.\end{aligned}$$

4. Альтернативные методы нахождения  $\varphi_p$  и  $\varphi_{pk}$  рассмотрены ниже сначала на примере несжимаемой жидкости. Разложение в ряды по степеням чисел Маха (в окрестности  $M = 0$  и удержание членов до  $M^2$  включительно) функций в уравнениях (2.1), (3.2) приводит к соотношениям

$$\begin{aligned}\frac{v^+}{v^-} &= (1 - \Delta_S)(1 + \Delta_G), \quad \frac{p^+}{p^-} = 1 + (1 - \Delta_S)(\delta^* + c_1 \Delta_S)/\text{Eu}^-(1 - \varphi_p(\Delta_S - k_5)), \\ \frac{p_\sigma}{p^-} &= 1 + \varphi_p(1 - \Delta_S)(\delta^* + c_1 \Delta_S)/\text{Eu}^-(1 - \varphi_p(\Delta_S - k_5)), \quad \delta^* = \alpha^- - \Delta_\tau^* - c_1, \\ \frac{p_{\sigma k}}{p^-} &= \varphi_{pk} \frac{p_{mk}}{p^-} + (1 - \varphi_{pk}) \frac{p_\sigma}{p^-}, \quad \frac{\rho^+}{\rho^-} = 1, \quad c_1 = (1 + \Delta_G)^2,\end{aligned}\tag{4.1}$$

$$\text{Eu}^- = 1/\gamma M^{-2}, \quad \Delta_\tau^* = \Delta_\tau - \sum_{k=1}^m \alpha_{mk} \Delta_{Gk}^2 k_{4k} / S_{mk} \varepsilon_{mk};$$

$$\sigma_p^{(2)} = \frac{2\text{Eu}^- + 2(1 - \Delta_S)(\delta^* + c_1 \Delta_S)/(1 - \varphi_p(\Delta_S - k_5)) + c_1(1 - \Delta_S)^2}{1 + 2\text{Eu}^-},\tag{4.2}$$

которые при  $\chi_k = 0$  и  $x'_{Dk} = 0$  ( $k_{1k} = k_{2k} = 1, k_{3k} = k_{4k} = k_{5k} = 0$ ) становятся тождественными соответствующим уравнениям в [5]. Для последних предварительно отметим новые способы определения  $\varphi_p$ . В частности, подобно [8], разнесение величин, зависящих от воздействия  $\Delta_S$  и не зависящих от него (в том числе  $\sigma_p$ ), в разные части уравнения позволяет заключить, что обе части уравнения являются некоторой функцией  $\lambda(X)$  воздействий  $X$ , значение которой легко определяется (при  $\Delta_S = 0$   $\lambda(X) = 0$ , следовательно,  $\lambda(X) = 0$  при любых  $\Delta_S$ ):

$$\begin{aligned}\sigma_p(1 + 2\text{Eu}^-) - 2\text{Eu}^- - 2\delta - c_1 &= \\ = \Delta_S[-2\delta - c_1 \Delta_S + \varphi_p(\sigma_p(1 + 2\text{Eu}^-) - 2\text{Eu}^- - (1 - \Delta_S)^2 c_1)].\end{aligned}$$

Этот прием дает значения  $\sigma_p$  и  $\varphi_p$ , совпадающие с решением дифференциального уравнения в [5] для  $\varphi_p$  с учетом начального условия. Второй прием состоит в прямом использовании гипотезы о независимости  $\sigma_p^{(2)}$  от  $\Delta_S$  и реализуется исключением из функции  $f_2$  величин, зависящих от  $\Delta_S$ . В итоге сразу получается выражение для  $\sigma_p$  ( $\sigma_p = f_{20}$ ), а функция  $\varphi_p$  находится в готовом виде из решения алгебраического уравнения

$$f_2(X, \Delta_S, \varphi_p(X, \Delta_S)) - f_{20} = 0.\tag{4.3}$$

Оба названных способа дают одинаковые результаты. При этом уравнение

(4.3) может рассматриваться как частный интеграл дифференциального уравнения для  $\varphi_p$  в [5].

Последовательное применение любого из этих приемов к (4.2) дает

$$\begin{aligned} \sigma_p &= \frac{2E\bar{u} + 2\delta + c_1}{1 + 2E\bar{u}}, \quad \varphi_p = \frac{c_1\Delta_S + 2\delta}{c_1\Delta_S(2 - \Delta_S) + 2\delta}, \quad \delta = a^- - \Delta_s - c_1, \\ \varphi_{pk} &= \varepsilon_{mk}[Q_{2k} - 2\Delta_{\tau k}\Delta_{Gk}^2 \cos(\lambda + \chi_k)]/q_k[Q_{1k} + 2\Delta_{\tau k}\Delta_{Gk}^2 \sin(\lambda + \chi_k)], \\ Q_{1k} &= 2\alpha_{mk}\Delta_{Gk}^2 - (1 - \varepsilon_{mk})S_{mk}^2(c_1\Delta_S + 2\delta), \\ Q_{2k} &= S_{mk}^2(c_1\Delta_S + 2\delta)(q_k - \operatorname{tg} \chi_k). \end{aligned} \quad (4.4)$$

Соотношения (4.4) не содержат неизвестных функций, удовлетворяют уравнениям (3.5) (проверяется непосредственной подстановкой) и, значит, могут рассматриваться как частный интеграл уравнений (3.5).

Существенный (и естественный) вывод из (4.4) — зависимость среднего давления на боковой стенке канала  $p_\sigma$  (или  $\varphi_p$ ) только от суммарных воздействий (здесь  $\Delta_G$ ,  $\Delta_\tau$ ) и независимость от локальных (в смысле принадлежности кциальному патрубку) воздействий, например  $\chi_k$ . Подобная зависимость может проявляться лишь неявно из-за изменения общего расхода  $\Delta_G$  (вслед за изменением  $\Delta_{Gk}$ ) и  $\Delta_\tau$ . В свою очередь,  $\varphi_{pk}$  зависит от характеристик «своего» патрубка, остальные патрубки влияют лишь через суммарные воздействия.

Найденные значения  $\varphi_p$  и  $\varphi_{pk}$  позволяют определить функции в (1.5) для несжимаемой жидкости (здесь ради краткости выписаны при  $\Delta_{\tau k} = 0$ ) в виде

$$\begin{aligned} k_{1k} &= Q_{1k} \sin(\lambda + \chi_k)/Q_k, \quad k_{2k} = \{Q_{1k} \sin \lambda + \cos \chi_k \cos(\lambda + \chi_k) \times \\ &\times [q_k Q_{1k} - \varepsilon_{mk} Q_{2k}]\} / Q_k \cos \chi_k, \quad k_{3k} = 2\alpha_{mk}\Delta_{Gk}^2(q_k - \operatorname{tg} \chi_k)/Q_k, \\ k_{4k} &= Q_{2k}/Q_k, \quad Q_k = Q_{1k} \sin(\lambda + \chi_k) - Q_{2k} \cos(\lambda + \chi_k) \end{aligned}$$

и окончательно найти гидродинамические параметры (4.1) как функции воздействий.

5. При истечении из канала идеальной жидкости одномерная трактовка течения, начиная с входного сечения бокового патрубка  $S_k^-$ , приводит к «нечувствительности» потока в канале к углу отвода массы [5]. Отказ от этого допущения влечет за собой расширение границ рассматриваемого объема жидкости в боковых патрубках вплоть до сечений, где допущение об одномерности становится более обоснованным, например в минимальном сечении струи в зоне отрыва (см. рис. 1). При этом параметры потока в канале меняются с изменением угла отвода массы  $\chi_k$ . Платой за появление «чувствительности» потока является увеличение числа неизвестных в уравнениях гидродинамики от одного до  $m + 1$ , а само влияние осуществляется величинами  $b_k$  (1.2) (или  $x'_{Dk}$ , см. рис. 1). Ниже излагается приближенный способ определения расстояния от точки отрыва потока до минимального сечения струи в боковом патрубке для идеальной несжимаемой жидкости.

Используются следующие допущения: течение в патрубке плоское, безвихревое в окрестности граничной линии тока  $AD$ , в минимальном сечении поток однородный и параллелен оси патрубка, давление в зоне отрыва  $p_{\delta k}$  постоянно и совпадает с давлением  $p_{mk}$  в минимальном сечении струи (при этом на линиях  $AD$ ,  $DC$   $v = v_{mk} = \text{const}$ ). В этих условиях в окрестности границы  $AD$  можно ввести комплексный потенциал  $W$  и комплексную скорость  $\xi = (Q/va)_{mk}dW/dz$ . Здесь  $W$ ,  $\xi$ ,  $z = x' + iy'$

нормированы с помощью расхода через патрубок  $Q_{mk}$ ,  $v_{mk}$  и  $a_{mk}$  соответственно. В плоскости годографа линии тока  $\psi_{AD}$  соответствует дуга сектора с углом  $\theta_0$ . Принимая  $\psi_{AD} = 0$ , используя определение комплексной скорости и функцию [9]

$$W = (\xi + 1/\xi)/2,$$

отображающую дугу окружности в плоскости  $\xi$  на отрезок вещественной оси плоскости  $W$ , можно установить связь  $z(W)$ , мнимая и вещественная части которой следующие:

$$\begin{aligned} 2\pi k - \theta_0 - \sin(2\pi k - \theta_0) \cos(2\pi k - \theta_0) &= \beta 2(1 - \varepsilon_{mk})\varepsilon(M_{mk})/\varepsilon_{mk}, \\ \bar{x}'_{Dk} = x'_{Dk}/a_{mk} &= \varepsilon_{mk} \sin^2 \theta_0 / 2\varepsilon(M_{mk}), \quad k \in N. \end{aligned} \quad (5.1)$$

Здесь  $\varepsilon(M_{mk}) = 1$  для несжимаемой жидкости;  $\beta = -1$  для  $k \leq 0$ , а  $\beta = 1$  для  $k > 0$  (последовательность величин  $k$  выбирается из условия монотонного поведения  $\varepsilon_{mk}$ );  $\varepsilon_{mk} = (Q/va)_{mk}$  — коэффициент поджатия потока, связанный с расходным воздействием соотношениями

$$\Delta_{Gk} = -\varepsilon_{mk} \bar{S}_{mk} \mu_k, \quad \mu_k = v_{mk}/v^- = (1 + 2E u^- (1 - p_{mk}/p^-))^{1/2}. \quad (5.2)$$

Таким образом, соотношения (5.1), (5.2) устанавливают связь  $x'_{Dk}$  с расходным воздействием. При этом с помощью циркуляции  $2\pi k$  моделируется «вихревая зона» в окрестности входа в боковой патрубок, появление которой сопровождается падением расхода через патрубок [10, 11].

В целом соотношения пп. 4, 5 позволяют в явном виде определить параметры состояния потока несжимаемой жидкости в канале при любых (учитываемых здесь) локальных воздействиях. При этом для учета воздействий  $\Delta_\tau$  в ряде случаев могут оказаться полезными экспериментальные данные по гидравлическим потерям  $\zeta_3$  приточных тройников [12]. Так, для потока в канале, подобно [5], имеем

$$\zeta_3 = 1 - c_1 - 2\delta = 2(1 - \alpha^-) + \Delta_G(2 + \Delta_G) + 2\Delta_\tau. \quad (5.3)$$

**6.** В случае сжимаемой жидкости эффективным способом определения  $\sigma_p$ ,  $\varphi_p$  и  $\varphi_{pk}$  является последний из рассмотренных в п. 4 приемов, который приводит к соотношениям (для краткости рассмотрен случай одинаковых патрубков)

$$\begin{aligned} \sigma_p = f_{20}(X) &= \frac{\pi(M^-)}{\gamma + 1} (K_0 \mp \nu \gamma N) \left(1 + \frac{\gamma - 1}{2} \frac{K_0 \pm \nu N_0}{K_0 \mp \nu \gamma N_0}\right)^{\gamma/(\gamma-1)}, \\ K_0 &= 1 + \gamma M^{-2}(\alpha^- - \Delta_\tau), \\ N_0 &= \{K_0^2 - 2(\gamma + 1)M^{-2}(c_1 + c_2(\gamma - 1)M^{-2}/2)\}^{1/2}; \end{aligned} \quad (6.1)$$

$$\begin{aligned} f_2^0(X, \Delta_S, \varphi_p(X, \Delta_S)) - f_{20}(X) &= 0, \\ f_2^0 &= \frac{\pi(M^-)}{I^0(n^0 + 1)} (K^0 \mp \nu n^0 N^0) \left(1 + \frac{n^0 - 1}{2} \frac{K^0 \pm \nu N^0}{K^0 \mp \nu n^0 N^0}\right)^{\gamma/(\gamma-1)}, \\ K^0 &= I^0 + n^0 M^{-2}(\alpha^- - \Delta_\tau), \end{aligned} \quad (6.2)$$

$$\begin{aligned} N^0 &= \{K^{0^2} - 2(n^{0^2} - 1)M^{-2}(c_1 + c_2(\gamma - 1)/2)/(\gamma - 1)\}^{1/2}, \\ n^0 &= \gamma(1 + (\gamma - 1)\varphi_p \Delta_S)^{-1}, \quad I^0 = (1 - \varphi_p \Delta_S)/(1 - \Delta_S)(1 + (\gamma - 1)\varphi_p \Delta_S); \end{aligned}$$

$$f_2(X, \Delta_S, \chi_k, \varphi_p(X, \Delta_S), \varphi_{pk}(X, \Delta_S, \chi_k)) - f_{20}(X) = 0. \quad (6.3)$$

Трансцендентные уравнения (6.2) и (6.3) решаются поочередно для нахождения  $\varphi_p(X, \Delta_S)$  и  $\varphi_{pk}(X, \Delta_S, \chi_k)$ . В этих уравнениях учтено, что  $\varphi_p$  не зависит от локальных воздействий  $\chi_k$  (см. п. 4).

При определении  $x'_{Dk}$  для сжимаемого потока в дополнение и частично взамен сделанных ранее допущений (п. 5) используются следующие допущения: течение стационарное, в окрестности линии тока  $AD$  процессы адиабатические,  $M^- < 1$ ,  $M_{mk} \leq 1$  (сверхзвуковые течения в окрестности входа в патрубок содержат криволинейные скачки уплотнения [6] и требуют специального рассмотрения). В этих условиях потенциал скорости и функция тока связаны [13]:

$$\frac{\partial \varphi}{\partial x} = \frac{\rho_0}{\rho} \frac{\partial \psi}{\partial y}, \quad \frac{\partial \varphi}{\partial y} = -\frac{\rho_0}{\rho} \frac{\partial \psi}{\partial x}.$$

Здесь  $\rho/\rho_0 = \rho_{mk}/\rho_0 = \varepsilon(M_{mk}) = \text{const}$  ( $\varepsilon(M)$  — газодинамическая функция для плотности) и в переменных  $(x, y)$  может отождествляться с функцией С. А. Чаплыгина. Вводя приведенный потенциал скорости  $\varphi_1 = \varphi \varepsilon(M_{mk})$ , можно рассматриваемую задачу свести к ранее решенной (5.1), (5.2), где  $\varepsilon(M_{mk}) < 1$ , а  $\mu_k$  определено в [5]:

$$\mu_k = (M_{mk}/M^-)(\tau(M_{mk})/\tau(M^-))^{(\gamma+1)/2(\gamma-1)}.$$

7. Полученные выше соотношения применительно к задачам истечения (втекания) из канала позволяют сформулировать и решать круг задач: определение расходов (с учетом поджатия струй) при истечении несжимаемой и сжимаемой жидкости из канала через произвольно ориентированный патрубок в среду с заданным давлением, в замкнутый объем, впрыск жидкости в канал, перетекание жидкости между перекрещивающимися каналами через соединительный патрубок, определение границ этих режимов течения, теоретических значений коэффициентов гидравлических потерь (см. (5.3) при  $\Delta_\tau = 0$ ) и т. п.

В частности, истечение сжимаемой жидкости из канала через патрубок ( $m = 1$ ) в среду с заданным давлением  $p_{\delta k}$  описывается уравнениями (1.4) при  $p_{mk} = p_{\delta k}$ , (1.5), частью соотношений (2.1) (при выборе верхнего знака) для давлений  $p_\sigma$  и  $p^+$ , (5.1) и (6.1)–(6.3). Перечисленные уравнения при прочих заданных воздействиях ( $\Delta_S, \Delta_\tau, \Delta_{\tau k}, \Delta_Q$ ) позволяют выявить влияние ориентации патрубка  $\chi_k$  на расход  $\Delta_G$  из канала.

В случае идеальной ( $\Delta_\tau = \Delta_{\tau k} = 0, \alpha^- = 1, \alpha_{mk} = 1$ ) несжимаемой ( $\varepsilon(M_{mk}) = 1$ ) жидкости, истекающей через боковое ответвление из канала постоянного сечения ( $\Delta_S = 0, \varphi_p = 1$ , см. (4.4),  $p_\sigma = p^+$ , см. п. 1), исходная система уравнений существенно упрощается и состоит из: (1.4) при  $p_{mk} = p_{\delta k}$ ; (4.1) для  $p_\sigma$ , где  $\delta^* = 1 - c_1 - \Delta_1^*$  и  $\Delta_1^* = -\Delta_G^2 k_{4k}/S_{mk} \varepsilon_{mk}$ ,  $c_1 = (1 + \Delta_G)^2$ ; (4.5) для  $k_{1k}, k_{2k}, k_{4k}$ ; (4.4) для  $Q_{1k}, Q_{2k}$ , где  $q_k = b_k + (1 - \vartheta_k) \operatorname{tg} \chi_k$  и  $b_k = x'_{Dk} - \vartheta_{1k} \operatorname{tg} \chi_k$ , а  $\vartheta_k$  и  $\vartheta_{1k}$  см. в п. 1; (5.2) связывает расход  $\Delta_G$  и коэффициент поджатия  $\varepsilon_{mk}$ ; (5.1) связывает  $x'_{Dk}$  с расходом  $\Delta_G$  через промежуточный параметр  $\theta_0$  ( $\theta_0$  — угол отклонения граничной линии тока  $AD$  в точке срыва потока  $A$  (см. рис. 1)). Все перечисленные уравнения удобно свести к системе двух уравнений относительно  $\theta_0$  и  $\varepsilon_{mk}$ ; одно из них (уравнение (5.1)) остается без изменений и позволяет найти связь  $\theta_0(\varepsilon_{mk})$ , все остальные могут быть сведены к уравнению относительно  $\varepsilon_{mk}$  (ниже индекс  $k$  опущен):

$$\varepsilon_m^2 S_m^2 \mu^2 - (2S_m \mu - \mu^2) \varepsilon_m - F(\varepsilon_m, \theta_0, \chi, S_m, \mu) = 0. \quad (7.1)$$

Здесь

$$F = (\mu^2 - 1)/2 + f(2S_m \mu \varepsilon_m - S_m^2 \mu^2 \varepsilon_m^2 + (\mu^2 - 1)/2);$$

$$f = \operatorname{tg} \chi \frac{(1 + S_m^2) \mu \varepsilon_m^2 - 2S_m \varepsilon_m}{2S_m + \mu S_m^2 \varepsilon_m^2 - [2\bar{S}_m + (1 + S_m^2)\mu] \varepsilon_m} \frac{\sin^2 \theta_0}{2}.$$

Итогом решения названных уравнений является коэффициент поджатия потока  $\varepsilon_{mk}$  как функция геометрических характеристик бокового патрубка  $\chi_k$ ,  $\bar{S}_{mk} = S_{mk}/S^-$  и комплексного гидродинамического параметра  $\mu_k = v_{mk}/v^- = (1 + 2Eu^-(1 - p_{mk}/p^-))^{1/2}$ ,  $Eu^- = p^-/\rho(v^-)^2$ . Найденные значения  $\varepsilon_{mk}$  позволяют, предварительно определив  $\Delta_G$ ,  $k_{3k}$ ,  $k_5$ ,  $k_{4k}$  по (4.5),  $\Delta_\tau^*$ ,  $\varphi_{pk}$  по (4.4), рассчитать гидродинамические параметры в выходном сечении канала и среднее давление струи на стенку ( $CB$ , см. рис. 1) бокового патрубка (4.1).

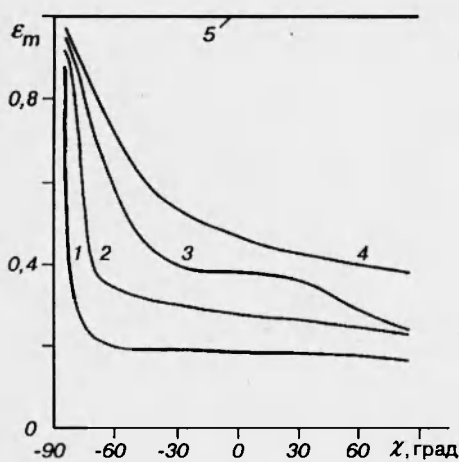


Рис. 2

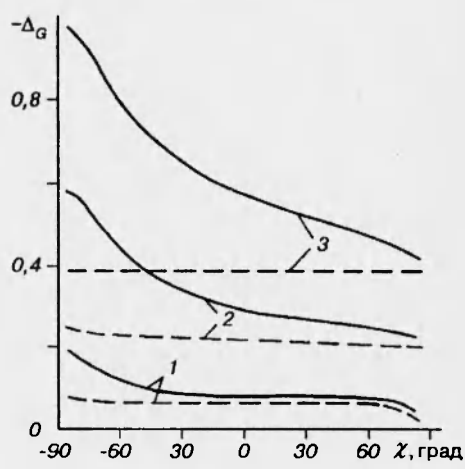


Рис. 3

Дополнив перечисленные выше уравнения интегралом Бернулли для реальной жидкости и уравнением неразрывности, можно сформулировать задачу об истечении несжимаемой жидкости из канала через длинный боковой патрубок, в котором зона отрыва потока изолирована от внешней среды и существенны гидравлические потери  $\zeta_p$ .

Некоторые результаты расчетов приведены на рис. 2-4. Рост отношения скоростей  $\mu_k = v_{mk}/v^-$  увеличивает «чувствительность» потока к углу отвода массы через короткий патрубок (зависимость  $\varepsilon_m(\chi)$ ) на рис. 2, где  $S_m = 0,1$ ,  $\mu_k = 1,2; 1,4; 1,8$ ; 3 для кривых 1-4 соответственно, для сравнения приведено  $\varepsilon_m$  по гипотезе [3] — кривая 5). Подобным же образом влияет  $\mu_k$  и при истечении несжимаемой жидкости через боковое ответвление из полубесконечного пространства [11]. Большая «чувствительность» к углу отвода проявляется и с ростом размера отверстия  $S_m$  (зависимость  $\Delta_G(\chi)$ ) на рис. 3, где  $\mu_k = 2$ ,  $S_m = 0,1; 0,3; 0,5$  для кривых 1-3 соответственно, сплошные кривые отвечают истечению через короткий патрубок, а штриховые — через

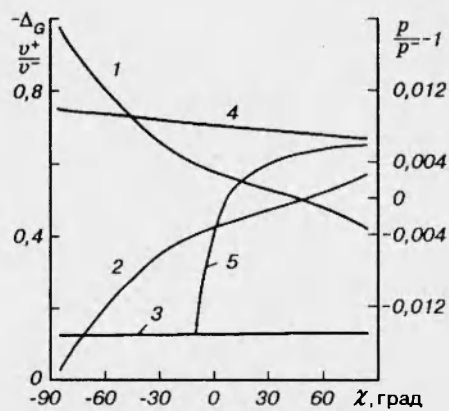


Рис. 4

длинный с  $\zeta_{\pi} = 5$ ). При этом увеличение гидравлических потерь в боковом патрубке (с ростом его длины) сопровождается уменьшением расхода и «чувствительности» к углу отвода массы из канала. Для рассмотренных случаев «чувствительность» практически нивелируется при  $\zeta_{\pi} = 5$  (что для квадратичного закона сопротивления соответствует длине патрубка в калибрах  $\sim 10^2$ ). Эти результаты согласуются с экспериментом [2], где при истечении через длинный патрубок при условиях  $S_m = 0,0036 \div 0,142$  и  $-50^\circ \leq \chi_k \leq 40^\circ$  изменение расхода  $\Delta_G(\chi)$  не выходило за пределы «погрешности, допустимой для практических целей». На рис. 4 приведена детальная характеристика одного из характерных вариантов ( $S_m = 0,5$ ,  $\mu_k = 2$ ,  $p_{mk}/p^- = 0,985$ , патрубок короткий: 1 —  $\Delta_G$ , 2 —  $v^+/v^-$ , 3 —  $p_{mk}/p^- - 1$ , 4 —  $p_\sigma/p^- - 1$ , 5 —  $p_{\sigma k}/p^- - 1$ ). При этом расход падает при отклонении оси патрубка навстречу потоку, давление  $p_\sigma = p^+$  уменьшается, а  $p_{\sigma k} \rightarrow p_\sigma$  при  $\chi_k \rightarrow \pi/2$ . В отдельных случаях уравнение (7.1) допускает решение в явном виде, например: при  $\chi_k = 0$  сводится к квадратному уравнению (как и в [5] для сжимаемой жидкости); если дополнительно принять  $S_m \rightarrow 0$  (истечение из безграничного полупространства), то  $\varepsilon_m = (\mu^2 - 1)/2\mu^2$ , откуда при  $\mu = 1$   $\varepsilon_m = 0$  — результат, совпадающий с [10], а при  $\mu \rightarrow \infty$  (истечение через насадок из полуограниченного объема с неподвижной жидкостью), как и следовало ожидать,  $\varepsilon_m \rightarrow 1/2$  [14].

Выполненное в данной работе обобщение гипотезы [5] на большее число геометрических воздействий позволяет заключить, что запас механической энергии потока, характеризуемый коэффициентом восстановления давления  $\sigma_p$ , не изменяется при любых геометрических воздействиях, рассматриваемых как независимые аргументы для функции  $\sigma_p$ . Так, в дополнение к приведенным здесь можно ставить и решать задачи по определению параметров состояния газа в каналах с изломами оси и для других возможных комбинаций геометрических воздействий. Несколько специфичны задачи подвода массы, где  $p_\sigma = p_{\sigma k} = p_{mk}$ . Тогда из (1.4) следует  $\Delta_{\tau k} = -(\alpha n_\tau)_{mk} = \alpha_{mk} \sin(\lambda + \chi_k)$ , т. е. все количество движения, нормальное к оси потока, воспринимается силами трения [5]. Величина  $\Delta_{\tau k}$  входит в список аргументов (2.3) функции  $\sigma_p$  (3.1). Соответственно углы подвода массы в силу однозначной связи с  $\Delta_{\tau k}$  из перечня геометрических воздействий исключаются.

В целом соотношения (2.1), (6.2), (6.3) или их аналоги для несжимаемой жидкости могут рассматриваться как условия в узле одномерных течений жидкости, удовлетворяющие всем законам сохранения гидродинамики, включая второе начало термодинамики.

#### ЛИТЕРАТУРА

1. Орлов Б. В., Мазинг Г. Ю. Термодинамические и баллистические основы проектирования ракетных двигателей на твердом топливе. М.: Машиностроение, 1979.
2. Петров Г. А. Движение жидкости с изменением расхода вдоль пути. М.; Л.: Стройиздат, 1951.
3. Павлов С. В., Яушев И. К. Задача о распаде произвольного разрыва параметров газа в разветвленных каналах // Численный анализ: Сб. науч. тр. / АН СССР. Сиб. отд-ние. ИТПМ. 1978. С. 75–82.
4. Степанов И. Р., Чудинов В. И. Некоторые задачи движения газа и жидкости в каналах и трубопроводах энергоустановок. Л.: Наука, 1977.
5. Дубравин Ю. А. О связи гидродинамических параметров в зонах локальных воздействий на поток // ПМТФ. 1989. № 3. С. 60–69.
6. Промежуточная баллистика артиллерийских орудий / Л. С. Плевако, Л. В. Марченко, А. А. Королев и др. М.: ЦНИИ информации, 1982.

7. Годунов С. К. Уравнения математической физики. М.: Наука, 1971.
8. Валландер С. В. Лекции по гидроаэромеханике. Л.: Изд-во Ленингр. ун-та, 1978.
9. Корн Г. К., Корн Т. К. Справочник по математике. М.: Наука, 1973.
10. Богомолов Е. Н. О боковом истечении жидкости из потока через отверстие конечной глубины // Прикл. механика. 1968. Т. 4, вып. 10. С. 105–112.
11. Богомолов Е. Н. Безвихревое истечение жидкости из потока через боковое отверстие конечной глубины // Изв. АН СССР. МЖГ. 1977. № 1. С. 162–164.
12. Идельчик И. Е. Справочник по гидравлическим сопротивлениям. М.; Л.: Госэнергоиздат, 1960.
13. Седов Л. И. Плоские задачи гидродинамики и аэrodинамики. М.: Наука, 1980.
14. Гинзбург И. П. Прикладная гидрогазодинамика. Л.: Изд-во Ленингр. ун-та, 1958.

*Поступила в редакцию 9/X 1992 г.,  
в окончательном варианте — 2/VIII 1994 г.*

---